

6  
А67 МИНИСТЕРСТВО ВЫСШЕГО И СРЕДНЕГО СПЕЦИАЛЬНОГО  
ОБРАЗОВАНИЯ РСФСР

ТУЛЬСКИЙ ПОЛИТЕХНИЧЕСКИЙ ИНСТИТУТ

на правах рукописи

Н.И.ЗАГРЕБЕЛЬНЫЙ

ИССЛЕДОВАНИЯ ПРОЧНОСТИ  
И ПОВЫШЕНИЯ НЕСУЩЕЙ СПОСОБНОСТИ  
РАБОЧИХ ЛОПАСТЕЙ  
ШАХТНЫХ ОСЕВЫХ ВЕНТИЛЯТОРОВ  
ГЛАВНОГО ПРОВЕТРИВАНИЯ

(05.172 - горные машины )

Автореферат  
диссертации на соискание ученой степени  
кандидата технических наук

Тула, 1971

МИНИСТЕРСТВО ВЫСШЕГО И СРЕДНЕГО СПЕЦИАЛЬНОГО  
ОБРАЗОВАНИЯ РСФСР  
ТУЛЬСКИЙ ПОЛИТЕХНИЧЕСКИЙ ИНСТИТУТ

на правах рукописи

Н.И. ЗАГРЕБЕЛЬНЫЙ

ИССЛЕДОВАНИЯ ПРОЧНОСТИ И ПОВЫШЕНИЯ НЕСУЩЕЙ  
СПОСОБНОСТИ РАБОЧИХ ЛОПАСТЕЙ ШАХТНЫХ ОСЕВЫХ  
ВЕНТИЛЯТОРОВ ГЛАВНОГО ПРОВЕТРИВАНИЯ

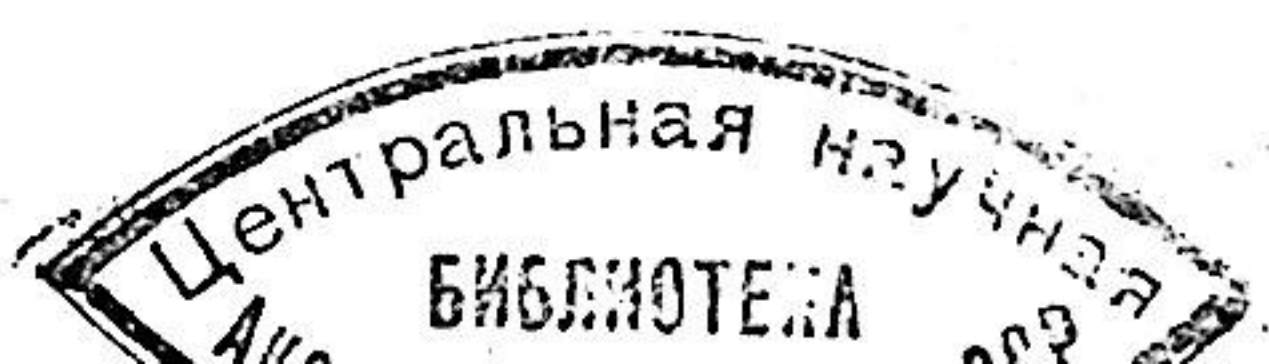
( 05.172. Горные машины )

А В Т О Р Е Ф Е Р А Т

диссертации на соискание ученой степени кандидата  
технических наук

г. Тула

1971 г.



Работа выполнена в Донецком научно-исследовательском  
Институте горной механики и технической кибернетики  
им. М.М.Федорова

Научный руководитель кандидат технических наук  
В. ВАСИЛЬЕВ

Официальные оппоненты:

доктор технических наук, проф. С.И.БОГОМОЛОВ  
кандидат технических наук, доц. В.В.НИКУЛИН

Ведущее предприятие: Каменский машиностроительный завод.

Автореферат разослан 13. мая 1971 года

Защита диссертации  
состоится 14. июня 1971 года  
на заседании совета горного факультета Тульского  
политехнического института ( г. Тула, пр. Ленина, 92)

С диссертацией можно ознакомиться в библиотеке института

Ученый секретарь Совета  
горного факультета,  
кандидат технических  
наук, доцент

В.Г.СКАБИЧЕВСКИЙ

ВВЕДЕНИЕ

Директивы XXII съезда КПСС по пятилетнему плану  
развития народного хозяйства СССР на 1971-1975 гг. пред-  
усматривают ускоренное развитие угольной и горно-добывающей  
промышленности, увеличение роста производительности труда и снижение себестоимости угля.

Задача повышения надежности и долговечности осевых  
вентиляторов главного проветривания шахт отвечает  
требованиям развития и перевооружения угольной промышлен-  
ности. Надежная работа выпускаемых промышленностью осевых  
вентиляторов обуславливается конструкцией рабочих лопа-  
стей.

В настоящее время на осевых вентиляторах применя-  
ется несколько типов лопастей, различающихся как констру-  
кционой, так и аэrodинамическими показателями. Большинство из  
конструкций обладает недостатками, главными из которых сле-  
дует считать низкую эксплуатационную стойкость, звуко-  
стойкость и коррозиестойчивость. Кроме того, некоторые ти-  
пы вентиляторов, например, серии "В" обладают низкими аэро-  
динамическими показателями. Ввиду этого возникла необходи-  
мость замены клепаных лопастей вентиляторов серии "В" ли-  
стовыми кружечками, имеющими более высокие к.п.д. и износо-  
стойкость.

На основании изложенного следует, что задача экспериментального и теоретического исследования лопастей осевых вентиляторов на прочность и колебания имеет цель как повышение срока службы лопастей, так и улучшение их эксплуатационных качеств.

Диссертация состоит из введения, пяти глав, заключения, общих выводов, приложений, содержащих акты внедрения результатов работы. Работа является частью большого комплекса исследований рабочих лопастей шахтных осевых вентиляторов, проведенных в ИГИ и ТК им. М.И. Федорова.

В ГЛАВЕ I дается детальное обоснование актуальности темы на основании обзора существующих наиболее распространенных конструкций лопастей шахтных осевых вентиляторов как в ССР, так и за рубежом; опыта их работы на различных шахтах; известных в литературе исследований и методов расчета напряженного состояния и колебаний при действии на лопасти рабочих нагрузок.

Общими недостатками большинства лопастей являются многооперационная и трудоемкая технология их изготовления (например, сварно-клепаные лопасти), низкая износостойкость, а также невысокие аэродинамические качества (например, клепанные лопасти серии "В").

Опыт эксплуатации осевых вентиляторов показал, что некоторые лопасти недежны в работе по причине низкой их прочности и вибростойкости. Так, литые лопасти из облегченного сплава вентилятора ВОКД-2,4, сварно-клепаные ВОКД-3 и листовые ВОКД-1,8 разрушаются в весьма короткий срок. Анализ свидетельствует о том, что разрушения происходят вследствие наличия концентров напряжений, а также из-за возможных

ошибок в технологии сварки, например, в листовых лопастях.

Лопасти сварно-клепаной конструкции обладают низкой износостойкостью, ввиду того, что профильная оболочка изготавливается из весьма тонкого металлического листа. Например, лопасти серии "В", имея толщину листа 3 ми, выходят из строя по причине износа и коррозии в среднем через 2-3 месяца.

В работе проведен анализ современных методов оценки напряженного состояния и колебаний лопастей осевых турбомашин. Важность вопроса обеспечения надежной работы лопастей осевых турбомашин привлекла внимание многих исследователей: С.А. Тумаркина, Я.Т. Ильчева, И.И. Мироновича, А.В. Левина, А.Д. Коваленко, Б.Ф. Шорра, Н.Н. Малинина, И.И. Жумахова, С.И. Гринберга, П.И. Риба, А.И. Пожалостина, В.П. Когаева, Л.М. Качанова, А.П. Филиппова, Д.Д. Ульяницкого, В.Новацкого, Г.Блейха, М. Бартона, С.П. Тимошенко, И.А. Раскина и др.

Анализ работ по изучению колебаний и напряженного состояния лопастей турбомашин показывает, что расчетные схемы, применяемые для лопаток паровых турбин, вносят значительные погрешности при расчете лопастей вентиляторов, особенно сварно-клепаной конструкции, имеющей симметричные размеры по длине и ширине лопасти и весьма сложный закон изменения геометрических параметров по длине лопасти. Расчет компрессорных лопастей также является весьма приближенным ввиду различия в характере закрепления лопастей компрессора и вентилятора в рабочем колесе.

При расчете на колебания листовых лопастей, по-видимому, наиболее правильной является схема пологой открытой цилиндрической оболочки с частичным защемлением по части

одной из сторон о последующей экспериментальной оценкой влияния закрутки. Имеющиеся в литературе методы расчета касаются только консольных пологих цилиндрических оболочек.

Одним из самых существенных показателей машин является к.п.д. Современные осевые вентиляторы, статический к.п.д. которых достигает 0,82-0,84. Однако, большое количество вентиляторных установок главного проветривания на шахтах СССР работает с никаким статическим к.п.д. и несправданно перерасходуют значительное количество электроэнергии. Так, около 2400 осевых вентиляторов, работающих при среднем эксплуатационном к.п.д., равном 0,5, расходуют в год более 2,5 млрд. квт-часов электроэнергии.

**Повышение эксплуатационного статического к.п.д.** этих вентиляторных установок может быть достигнуто несколькими способами, в частности, путем модернизации установки с применением новых рабочих лопастей. Последние должны обладать хорошими аэродинамическими показателями, иметь достаточную прочность и износостойкость, а также должны иметь простую технологию изготовления и малый вес. При этом следует иметь в виду, что количество вентиляторов, на которых возможна замена лопастей, весьма велико. Так, на шахтах Советского Союза используется около 500 вентиляторов серии "В", на которые ежегодно поставляется на запасные части около 20 тысяч лопастей.

Ввиду этого совместно АГМиТК им. М.И. Родорова, Тульским политехническим институтом и Каменским машиностроительным заводом были разработаны кручение листовые лопасти к вентиляторам серии "В".

Таким образом, основной задачей, поставленной в работе, является изучение профильных лопастей, обладающих низкой прочностью, и листовых лопастей вс тиляторов ВОКД-1,8 и серии "В" на прочность и колебания.

В главе II приводятся результаты экспериментальных исследований динамической прочности следующих видов лопастей: сварно-клепанных ВОКД-3, ВОКД-1,8 и ВОКД-30, а также литых лопастей ВОКД-2,4.

Исследования включают в себя изучение вынужденных колебаний и напряженного состояния лопастей на действующем вентиляторе и определение динамических характеристик лопастей-собственных частот и форм колебаний.

Изучение вынужденных колебаний и напряженного состояния лопастей проводилось на аэродинамических стендах при различных режимах работы вентилятора. Испытания выполнены методом электротензометрии с использованием тензодатчиков, тензоусилителя ВАНЧ, токосъемника и шлейфового осциллографа. Тензодатчики наклеивались прямоугольными розетками: главные деформации были получены путем пересчета.

Исследования собственных частот и форм колебаний лопастей проводились на спроектированном в ИГИ и ТК электромагнитной вибровибранде резонансного типа, состоящем из  $\text{U}$ -образной станины, в которой укрепляется испытуемая лопасть, электромагнита, возбуждающего колебания лопасти, усилильной и регистрирующей аппаратуры.

Исследование лопастей ВОКД-3 проводилось на стенде Каменского машиностроительного завода. Установлено, что максимальные напряжения, возникающие у корня лопасти на ее рабочей поверхности, не превышают  $500 \text{ кг}/\text{см}^2$ . На тыльной сто-

рое напряжения ниже вследствие изгиба лопасти. Величины напряжений при изменении режима работы вентилятора меняются в малых пределах. Возникающие в результате вибрации лопасти динамические напряжения составляют примерно 18% от величины максимальных статических напряжений. Установлено, что частота вынужденных колебаний лопасти находится в диапазоне 93 - 96 гц. ( в зависимости от числа оборотов вентилятора). Низшая собственная частота колебаний лопасти равна 98 гц., отстройка от резонанса составляет около 3%. При изготовлении настройка лопастей на определенную частоту не производится, поэтому возможны отклонения в собственных частотах.

Таким образом, лопасти ВОКД-3, имея малую отстройку от резонанса, находятся в условиях, близких к резонансу.

Сварно-клепанные лопасти ВОКД - 1,0 испытывались для сопоставления с листовыми, о которых сказано ниже. Анализ напряжений, возникающих в лопасти, свидетельствует о том, что они не превышают по величине  $620 \text{ кг}/\text{см}^2$ . Наибольшие напряжения получены у корня лопасти. Частоты вынужденных колебаний лопасти кратны 10-й и 11-й гармоникам по секундным оборотам ротора. Анализ свободных колебаний показал, что отстройка от резонанса составляет приблизительно 27%, лопасти работают в благоприятных условиях.

Испытания лопастей ВОД-30, проведенные для опытного вентилятора на стенде Каменского машиностроительного завода, показали, что напряжения в лопастях не превышают  $475 \text{ кг}/\text{см}^2$ . Частота вынужденных колебаний равна 120 гц., а собственных - 135 гц. Таким образом, лопасти находятся в благоприятных условиях.

Литые лопатки ВОКД-2,4 изготавливаются из облегченного магниевого сплава МЛ-5-Т4 (удельный вес  $\gamma = 1,81$ ), который обладает следующими механическими свойствами:

$$\sigma_{\text{b}} = 2200 \text{ кг}/\text{см}^2; \quad \sigma_t = 850 \text{ кг}/\text{см}^2; \quad \sigma_{-1} = 1000 \text{ кг}/\text{см}^2;$$

$$\sigma_{-1}' = 800 \text{ кг}/\text{см}^2 \text{ - для образцов с надрезом.}$$

Сравнительная вибростойкость лопастей литой конструкции (из магниевого сплава) со сварно-клепаной определялась экспериментально следующим образом. На лопасти, укрепленной на массивном основании, установлен эксцентрик с грузом. При вращении эксцентрика на лопасть действует знакопеременная нагрузка. Испытания проводились в резонансном состоянии, когда скорость вращения эксцентрика и собственная частота колебаний лопасти равны.

Результаты испытаний свидетельствуют о том, что литые лопасти, имея малую отстройку от резонанса, обладают низкой вибростойкостью по сравнению со сварно-клепанными. Для увеличения вибростойкости необходимо применять демпфирование лопастей в месте заделки, что приводит к увеличению долговечности на 65 - 70%, а также осуществить максимальную отстройку от резонанса.

В работе был проведен расчет собственных частот колебаний лопастей вентилятора ВОКД-3 с целью получения оптимальных конструктивных размеров при максимальной отстройке от резонанса. При расчете использован метод остаточного момента. Используя известные из сопротивления материалов зависимости между изгибающими моментами, кривизной изгиба, и поперечной распределенной (инерционной) нагрузкой, получены дифференциальные уравнения поперечных колебаний:

$$\left. \begin{aligned} \frac{\partial^2}{\partial z^2} \left[ EJ_x(z) \frac{\partial^2 x}{\partial z^2} + EJ_{xy}(z) \frac{\partial^2 y}{\partial z^2} \right] &= m(z) P^x \\ \frac{\partial^2}{\partial z^2} \left[ EJ_y(z) \frac{\partial^2 y}{\partial z^2} + EJ_{xy}(z) \frac{\partial^2 x}{\partial z^2} \right] &= m(z) P^y \end{aligned} \right\} \quad (1)$$

Краевыми условиями для системы являются равенство нулю перемещений и углов поворота у корня лопасти и равенство нулю перерезывающих сил и изгибающих моментов на свободном конце. Введя допущение, что лопасть - система с сосредоточенными массами, соединенными невесомыми упругими стержнями, и выполнив интегрирование дифференциальных уравнения (1) на участке  $i$ -го массы до  $i$ -ой массы, можно получить рекуррентные формулы:

$$\left. \begin{aligned} Q_{xi} &= Q_{xi-1} + m_{i-1} P^x x_{i-1} \\ Q_{yi} &= Q_{yi-1} + m_{i-1} P^y y_{i-1} \\ M_{xi} &= M_{xi-1} - Q_{yi} \Delta z \\ M_{yi} &= M_{yi-1} + Q_{xi} \Delta z \\ \theta_{xi} &= \beta_{xi} \left( \frac{M_{yi-1}}{2} + \frac{M_{yi}}{2} \right) + \beta_{xyi} \left( \frac{M_{xi-1}}{2} + \frac{M_{xi}}{2} \right) + \theta_{xi-1} \\ \theta_{yi} &= \beta_{yi} \left( \frac{M_{xi-1}}{2} + \frac{M_{xi}}{2} \right) + \beta_{xyi} \left( \frac{M_{yi-1}}{2} + \frac{M_{yi}}{2} \right) + \theta_{yi-1} \\ x_i &= \beta_{xi} \left( \frac{M_{yi-1}}{3} + \frac{M_{yi}}{6} \right) \Delta z + \beta_{xyi} \left( \frac{M_{xi-1}}{3} + \frac{M_{xi}}{6} \right) \Delta z + \\ &\quad + \theta_{xi-1} \cdot \Delta z + x_{i-1} \\ y_i &= -\beta_{xi} \left( \frac{M_{xi-1}}{3} + \frac{M_{xi}}{6} \right) \Delta z - \beta_{xyi} \left( \frac{M_{yi-1}}{3} + \frac{M_{yi}}{6} \right) \Delta z + \\ &\quad + \theta_{yi-1} \cdot \Delta z + y_{i-1} \end{aligned} \right\} \quad (2)$$

где  $M_{xi}, M_{yi}, Q_{xi}, Q_{yi}$  - изгибающие моменты и перерезывающие силы соответственно в  $i$ -ом сечении;  
 $\theta_{xi}, \theta_{yi}, x_i, y_i$  - углы поворота и перемещения соответственно в  $i$ -ом сечении;

$\Delta z$  - длина участка интегрирования;

$\beta_{xi}, \beta_{yi}, \beta_{xyi}$  - коэффициенты, выраждающие зависимость между моментами инерции сечения, модулем упругости  $E$  и  $\Delta z$ .

Используются значения четырех переменных, получаемых из краевых условий на закрепленном конце, и четырех переменных - на свободном конце. Рассчет проводится поэтапно:

- 1) Из каких-либо соображений задается значение круговой частоты  $P$ .
- 2) Используются рекуррентные формулы (2), начальные значения переменных и краевые условия; по которым вычисляются значения переменных на одном конце лопасти.

3) По полученным значениям переменных и краевым условиям на другом конце лопасти составляется система уравнений:

$$\left. \begin{aligned} Q_{xn}^{I'} + Q_{xn}^{II'} \cdot \bar{M}_{xo} + Q_{xn}^{III'} \cdot \bar{Q}_{yo} + Q_{xn}^{IV'} \cdot \bar{Q}_{xo} &= 0 \\ Q_{yn}^{I'} + Q_{yn}^{II'} \cdot \bar{M}_{xo} + Q_{yn}^{III'} \cdot \bar{Q}_{yo} + Q_{yn}^{IV'} \cdot \bar{Q}_{xo} &= 0 \\ M_{xn}^{I'} + M_{xn}^{II'} \cdot \bar{M}_{xo} + M_{xn}^{III'} \cdot \bar{Q}_{yo} + M_{xn}^{IV'} \cdot \bar{Q}_{xo} &= 0 \end{aligned} \right\} \quad (3)$$

которая решается относительно неизвестных:  $\bar{M}_{xo}, \bar{Q}_{xo}, \bar{Q}_{yo}$ .  
Значение остаточного момента вычисляют по формуле:

$$M_{osm} = M_{yn}^I + M_{yn}^{II} \bar{M}_{x_0} + M_{yn}^{III} \bar{Q}_{y_0} + M_{yn}^{IV} \bar{Q}_{x_0} = 0. \quad (4)$$

Значения круговых частот, для которых  $M_{osm}$  обращается в нуль, являются собственными частотами системы.

Расчет проводился с использованием приведенной в работе АЛГОЛ - программы на ЭВМ "Урал-4". Сходимость результатов расчета с экспериментом удовлетворительна.

В ГЛАВЕ II приводятся результаты экспериментальных исследований листовых лопастей вентиляторов ВОКД-1,8 и ВУПД-1,8. Описываются конструктивные особенности трех вариантов лопастей ВУПД-1,8, которые рассмотрены с целью выбора оптимальной конструкции, обладающей необходимой прочностью. На рис. I представлен один из вариантов конструкции лопасти.

Исследования напряженного состояния и колебаний проведены по описанной выше методике на натурных вентиляторах.

Получены эпюры главных напряжений  $\sigma_1$  и  $\sigma_2$  для обоих типов лопастей. Максимальные напряжения возникают у корня лопасти в месте приварки листа. По мере удаления к свободному концу напряжения резко падают по величине. У корня лопасти напряжения изгиба составляют примерно 75% от общей величины напряжений - в лопасти ВОКД-1,8 и 45% ВУПД-1,8.

Установлено, что величина напряжений зависит от режима работы вентилятора: чем больше угол установки лопастей  $\theta$ , тем выше уровень напряжений. При одном и том же угле  $\theta$  напряжения растут по мере увеличения давления  $H$  и максимальны при посадке. Аналогично изменяется величина динамических напряжений; причем в условиях посадки последние возрастают примерно в 2,5 раза - в лопастях ВОКД-1,8, а в лопастях ВУПД-1,8 на 75%.

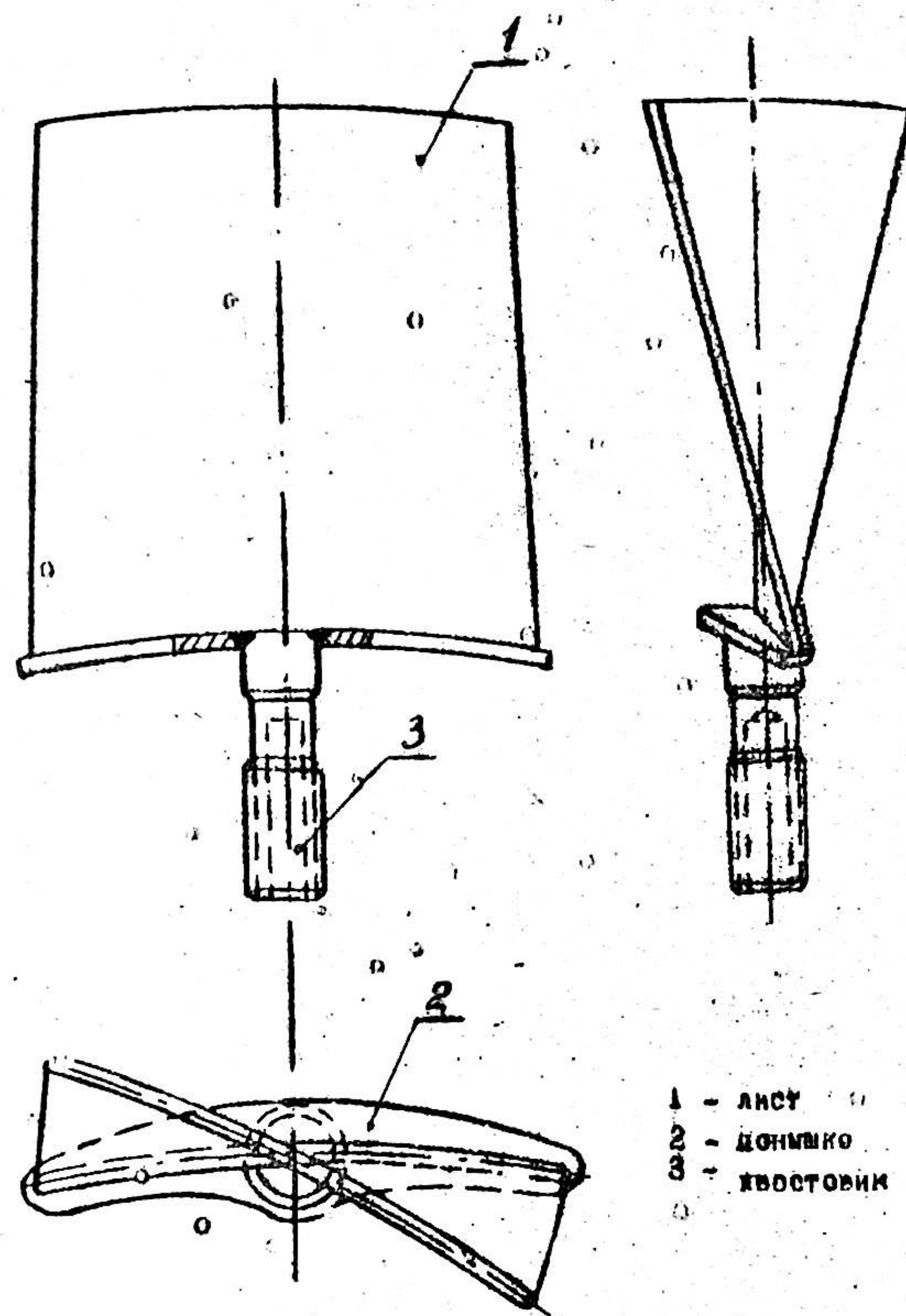


Рис. I. Конструкция листовой лопасти:

Таким образом, получено, что максимальные статические напряжения, возникающие при помпаже, равны  $1185 \text{ кг}/\text{см}^2$  - в лопасти ВОКД-1,8 и  $1120 \text{ кг}/\text{см}^2$  - в лопасти ВУПД-1,8, а полные суммарные напряжения -  $1580 \text{ кг}/\text{см}^2$  и  $1250 \text{ кг}/\text{см}^2$  соответственно.

Анализ осциллограмм вынужденных колебаний, одна из которых для примера представлена на рис.2, дал следующие результаты.

Вентилятор ВОКД-1,8. Спектр частот вынужденных колебаний лопастей обеих ступеней следующий:

$$\nu_1 = 121$$

$$\nu_3 = \frac{nZ}{2};$$

$$\nu_2 = 4n;$$

$$\nu_4 = 13n;$$

где  $n$  - число оборотов ротора в с $\cdot$ с $\cdot$ к $\cdot$

$Z$  - число лопаток направляющего аппарата.

В зависимости от режима работы вентилятора указанный спектр частот не изменяется. При увеличении давления  $H$  и переходе вентилятора в помпажной режим высокие частоты исчезают, а превалирующее значение имеет одна, близкая к собственной частоте лопасти. Была определена низшая собственная частота, которая равна 68,4 гц; логарифмический декремент колебаний при этом равен

$$\delta = 0,0128$$

Таким образом, листовая лопасть при режимах работы вентилятора, когда  $H = H_{\text{кр}}$  и, особенно при помпаже, работает в узловых резонансном состоянии. Отрицательным свойством листовых лопастей является малая величина декремента  $\delta$ , что способствует развитию колебаний лопасти с большой амплитудой.

При испытаниях вентилятора ВОКД-1,8 производилось определение aerодинамических нагрузок, действующих на лопасть,

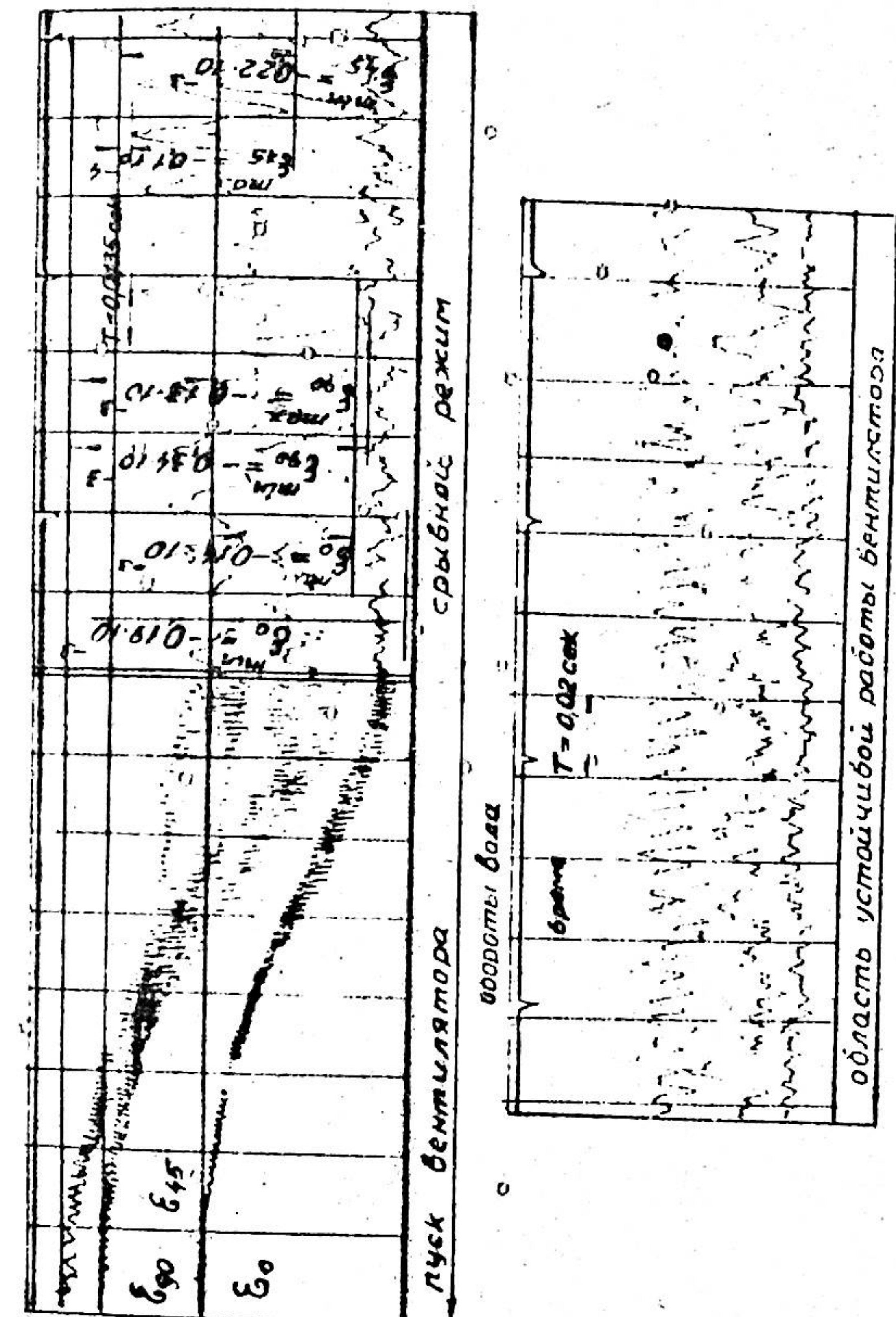


Рис.2 Осциллограмма вынужденных колебаний лопастей вентилятора ВОКД-1,8

с использованием тензомembrанных датчиков. В исследуемой точке в листовой лопасти просверлено отверстие, в котором устанавливалась мембрана с наклеенным на нее тензодатчиком. Таким образом, было измерено суммарное давление потока на лопасть. Была получена эпюра давления воздушного потока по поверхности лопасти. Величина максимального давления при  $H = H_{max}$ :

$$P_{max} = 0,48 \text{ кг/см}^2$$

Установлено, что при изменении режима работы вентилятора величины давлений количественно изменяются, в то время как качественная картина остается неизменной.

Воздушный поток проходит через проточную часть вентилятора пульсируя. Анализ полученных осцилограмм позволил определить характер и величину пульсации. Установлено, что на лопасти первой ступени воздушный поток в условиях устойчивой работы вентилятора поступает плавно, без пульсации. При переходе вентилятора в помпаж имеет место гульсация с частотами, равными  $13\pi$  и выше.

На лопасти второй ступени воздушный поток поступает пульсируя с частотами, равными  $\frac{n_2}{2}, 13n, n_2$ . Сопоставление осцилограмм показало, что наиболее низкая частота пульсации потока наблюдается при работе вентилятора в помпажном режиме и близка к собственной частоте колебаний лопасти. Это приводит к возбуждению значительных по величине динамических деформаций. В зоне устойчивой работы вентилятора отстройка от резонанса составляет приблизительно 18%.

Вентилятор ВУПД-1.8. Анализ осцилограмм вынужденных колебаний показал, что лопасти ступеней колеблются с одинаковыми частотами. В зоне устойчивой работы вентилятора и в пом-

паже основной является частота  $\omega_1 = 88$  гц. Собственная частота равна  $\omega_{sc} = 70$  гц. Таким образом, отстройка от резонанса составляет приблизительно 19%.

В работе приводятся результаты лабораторных исследований по повышению несущей способности листовых лопастей с целью изучения влияния на несущую способность листовых лопастей некоторых технологических и конструктивных факторов.

Звиду того, что в лопасти возникают значительные по величине напряжения, а отстройка от резонанса составляет 19%, повышение несущей способности лопасти осуществлялось следующими путями:

- уменьшение радиуса кривизны лопасти с целью увеличения изгибной жесткости;
- замена материала (стали 3) на низколегированную (09Г2С), имеющую лучшие механические характеристики, чем сталь 3, обладающую хорошей свариваемостью;
- смещение центра инерции корневого сечения листа относительно оси хвостовика с целью уменьшения изгибающего момента, возникающего в результате действия центробежных сил;
- увеличение толщины листа лопасти с целью повышения собственной частоты лопасти и геометрических параметров сечения;
- проведение термической обработки лопасти для снятия остаточных напряжений, возникающих в результате сварки.

Исследования проводились посредством сравнительных усталостных испытаний натурных лопастей на усталостной машине ГРИ-1. Каждая партия одинаковых лопастей из 4 - 6 штук подвергалась растягивающей переменной нагрузке  $P$ . Выбор такой схемы испытаний оправдан ввиду того, что на основании

тензометрических исследований напряжения в лопасти от центробежной (растягивающей) нагрузки составляют примерно 80% от величины суммарных напряжений, а испытания на усталость являются сравнительными. Полученные результаты позволили построить кривые ограниченной усталости в системе координат  $P-\ln N$ , где  $N$  - число циклов до разрушения лопасти; при этом коэффициент асимметрии цикла выбран:

$$\gamma = \frac{P_{min}}{P_{max}} = 0,33$$

На рис. 3 представлены усталостные характеристики лопастей, имеющих различные исследуемые факторы. Так, кривые 1 и 3 характеризуют различные материалы - сталь 3 и сталь 09Г2С соответственно. Из рисунка ясно, что применение низколегированной стали повышает усталостную прочность примерно на 60%. Увеличение толщины листа лопасти с 5 мм (кривая 1) до 6 мм (кривая 2) вызывает увеличение усталостной прочности на 18-20%. Две партии лопастей из стали 09Г2С были подвергнуты термической обработке: одна - высокому отпуску (до  $670^{\circ}\text{C}$ ), вторая - нормализации (до  $910^{\circ}\text{C}$ ). Как следует из рисунка, высокий отпуск увеличивает долговечность примерно на 45% (кривая 4), а нормализация - на 65-70% (кривая 5).

Проведенные мероприятия в совокупности позволили увеличить несущую способность лопастей в среднем в 1,8-2 раза.

Параллельно со всем комплексом исследований произведен анализ микроструктуры образцов, вырезанных из каждой партии лопастей. Как показали металлографические исследования, микроструктура сварного соединения без термической обработки весьма неоднородна: имеются зоны с мелковозернистым равномерным расположением по сечению феррита и перлита (основной металл) и зо-

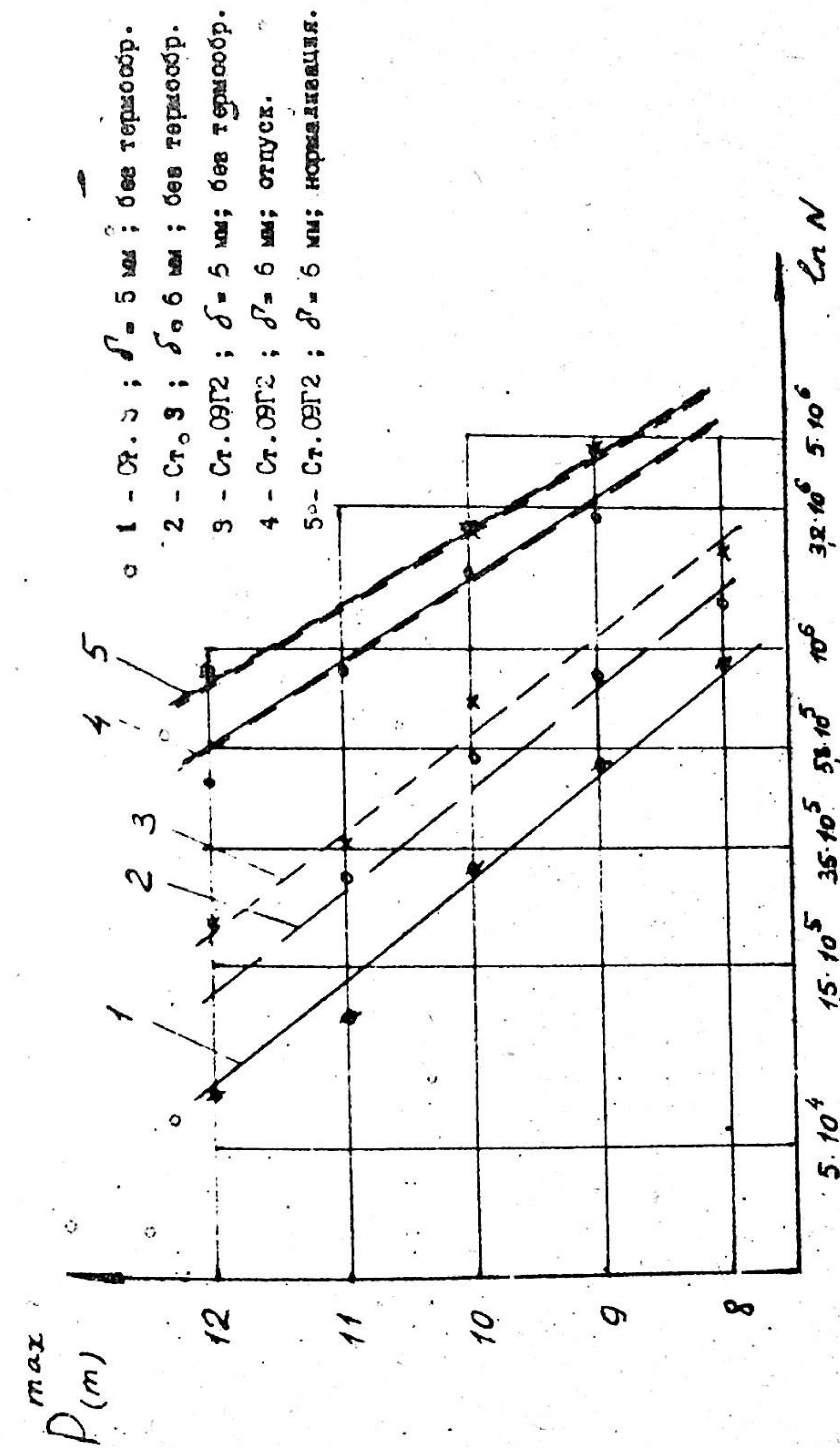


Рис.3. Усталостные характеристики листовых лопастей.

вы с крупным зерном с игольчатым выделением избыточного феррита (зона сварки) что, как известно, обуславливается наличием значительных остаточных напряжений в кристаллической решетке стали. В образцах, прошедших термическую обработку, зерно измельчено и имеется более равномерное распределение феррита и перлита.

Глава IV. содержит расчет листовых лопастей на прочность и колебания. Листовые лопасти представляют собой консольные пологие оболочки, имеющие крутку профиля; причем заделка осуществляется по части одной из сторон. В настоящее время расчет такого типа оболочек отсутствует, а имеющиеся методы рассматривают колебания заделанной по одной из сторон цилиндрической открытой оболочки. Ввиду этого основной целью, поставленной в работе, является расчет прочности листовых лопастей, а также оценка консольной схемы расчета на колебания, применительно к листовым лопастям.

Расчет на прочность включает в себя изучение распределения напряжений в зависимости от вида закрепления. Так, на примере прямоугольной пластинки постоянной толщины и растянутой равномерно распределенными нагрузками  $\varphi_1$  и  $\varphi_2$ , равными по величине центробежным, изучена концентрация напряжений в зависимости от участка защемления одной из сторон. Использовано основное дифференциальное уравнение:

$$\frac{\partial^4 \psi}{\partial x^4} + 2 \frac{\partial^4 \psi}{\partial x^2 \partial y^2} + \frac{\partial^4 \psi}{\partial y^4} = - \varphi(y) \frac{\partial^2 \psi}{\partial y^2}. \quad (5)$$

Решение уравнения проводилось методом конечных разностей с использованием соответствующих граничных условий. Как известно, точность метода конечных разностей зависит от шага сетки. Поэтому подсчет напряжений производился с последовательным

уменьшением шага сетки до тех пор, пока дальнейшее уменьшение шага перестает значительно влиять на результаты.

В результате проведенного расчета получены эпюры главных напряжений, из которых следует, что у края пластиинки, имеющей частичную заделку, наблюдается значительная концентрация напряжений. Так, при заделке, равной  $1/5$  длины стороны коэффициент концентрации составляет примерно 4,65. Следует иметь в виду, что избранная схема расчета пластиинки на растяжение вносит значительной погрешности, учитывая, что оболочка обладает примерно такой же жесткостью на растяжение, в то время как изгиб жесткости оболочки и пластиинки различны.

Расчет напряженного состояния лопасти на изгиб от действия аэродинамических нагрузок рассматривается для защемленной по части стороны пологой цилиндрической оболочки, прямоугольной в плане. На оболочку действует нормальная распределенная нагрузка, определенная экспериментально. Исходными являются урав-

нения пологой цилиндрической оболочки:

$$\left. \begin{aligned} \frac{\partial^2 u}{\partial x^2} + \frac{1-\mu}{2} \frac{\partial^2 u}{\partial y^2} + \frac{1+\mu}{2} \frac{\partial^2 v}{\partial x \partial y} + \mu \frac{\partial w}{\partial x} &= - \frac{1-\mu^2}{E\delta} R^2 X \\ \frac{1+\mu}{2} \frac{\partial^2 u}{\partial x \partial y} + \frac{\partial^2 v}{\partial y^2} + \frac{1-\mu}{2} \frac{\partial^2 v}{\partial x^2} + \frac{\partial w}{\partial y} &= - \frac{1-\mu^2}{E\delta} R^2 Y \\ \mu \frac{\partial u}{\partial x} + \frac{\partial v}{\partial y} + C^2 \nabla^4 u + w &= - \frac{1-\mu^2}{E\delta} R^2 Z \end{aligned} \right\} \quad (6)$$

где:  $C^2 = \frac{f^2}{12R^2}$ ,  $X, Y, Z$  - компоненты вектора интенсивности поверхности нагрузки.

Задача решается методом конечных разностей. Общий ход решения таков. Составляются уравнения (6) в конечных разностях для каждого узла. При этом, если из граничных условий известны искомые величины на контуре, то уравнения для контурных точек не записываются. Во все или частично узлы входят неизвестные во внутренних узлах сетки, которые необходимо выразить через внутренние значения искомых функций. Для этого используются граничные условия:

жесткая заделка края:

$$U = V = W = \frac{\partial W}{\partial n} = 0 \quad (7')$$

свободный край:

$$\left. \begin{aligned} T_n &= B \left[ \frac{\partial U}{\partial n} + \mu \frac{\partial V}{\partial r} - \lambda \delta t W \right] = 0 \\ T_{nn} + \frac{\partial H}{\partial r} &= -D \left[ \frac{\partial^3 W}{\partial n^3} + (2-\mu) \frac{\partial^3 W}{\partial n \partial r^2} \right] = 0 \\ S &= B \frac{1-\mu}{r} \left[ \frac{\partial V}{\partial n} + \frac{\partial U}{\partial r} \right] = 0 \\ M_n &= -D \left[ \frac{\partial^2 W}{\partial n^2} + \mu \frac{\partial^2 W}{\partial r^2} \right] = 0 \end{aligned} \right\} \quad (7'')$$

Решение проводилось для единичной нагрузки. Для определения величины напряжений от аэродинамических сил следует напряжения от единичной нагрузки умножить на величину аэродинамической силы.

Проведение расчета напряженного состояния листовых лопастей позволили определить уровень напряжений, возникающих от действия центробежных и аэродинамических сил. Расчет дает завышение на 25% результата в сравнении с экспериментом.

Расчет на колебания проводился с целью оценки влияния краевых условий на собственные частоты листовых лопастей. В качестве расчетной схемы использована консольная оболочка с variable величиной заделки. Рассмотрены только изгибные колебания. Схема решения, проводившегося методом конечных разностей, аналогична описанной ранее. Получено алгебраическое уравнение в виде:

$$\begin{vmatrix} a_{11}-\alpha & a_{12} & a_{13} & \dots & a_{1n} \\ a_{21} & a_{22}-\alpha & a_{23} & \dots & a_{2n} \\ a_{31} & a_{32} & a_{33}-\alpha & \dots & a_{3n} \\ \vdots & \vdots & \vdots & \ddots & \vdots \\ a_{n1} & a_{n2} & a_{n3} & \dots & a_{nn}-\alpha \end{vmatrix} = 0 \quad (8)$$

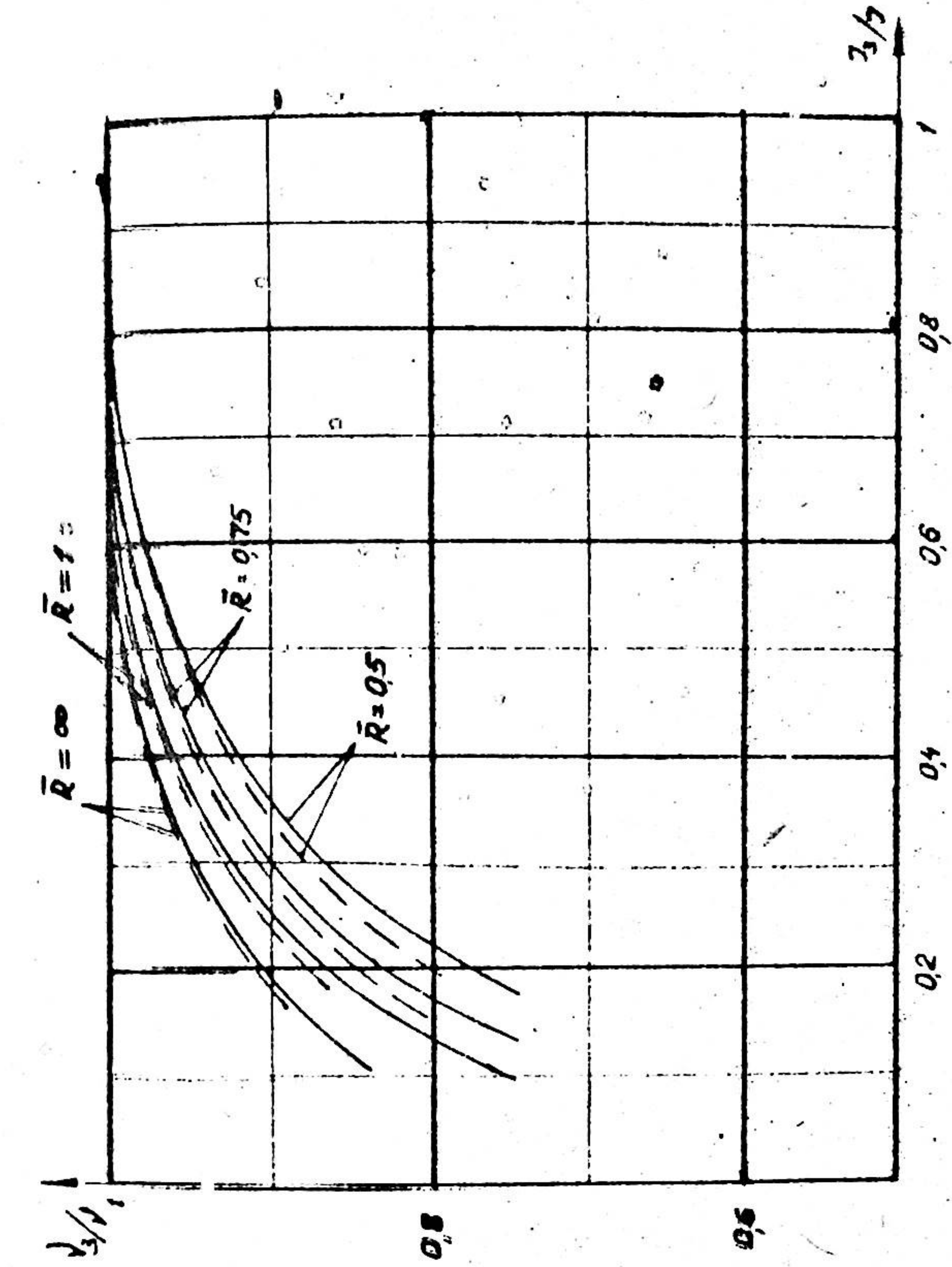


Рис. 4. Влияние краевых условий на собственные частоты.

где  $\lambda$  - собственные значения.

При проведении всех вычислительных операций использовалась ЭВМ "Урал-4".

Полученные результаты приведены в графике зависимостей собственных частот изгибных колебаний от величины заделки (см. Рис. 4). По оси абсцисс откладывались отношения моментов инерции сечения заделки на участке к моменту инерции сечения оболочки относительно минимальной оси жесткости полного сечения листа; по оси ординат - отношения собственных частот оболочки заделанной по участку к собственным частотам оболочки заделанной по всему борту. Прлучены кривые для нескольких радиусов кривизн оболочки, а также для пластинки; причем на графике указаны отношения величин радиусов оболочек к радиусу лопасти в корневом сечении.

В работе приведены результаты внедрения. Так, Донским рудоремонтным заводом (Тульская область) изготавливаются листовые лопасти к вентиляторам ВОКЛ-1,8 и 1,5 с учетом результатов и рекомендаций данной работы.

На шахте № I /зубовская/ комбината "Новомосковскуголь" эксплуатируется с I декабря 1970г. вентиляторная установка серии "В" с листовыми лопастями, изготовленными с учетом результатов диссертационной работы.

#### ОБЩИЕ ВЫВОДЫ.

1. Анализ современных методов расчета на прочность и колебания лопаток ротативных машин свидетельствует о том, что в настоящее время отсутствуют достаточно простые и надежные методы расчета поворотных лопастей, имеющих сложную форму поперечного сечения, например, сварно-клепаной конструкции.

Существующие методы неприемлемы также для расчета листовых лопастей ввиду особенности их закрепления в рабочем колесе.

2. Лопасти некоторых типов осевых вентиляторов обладают недостаточной прочностью в условиях действия значительных статических и динамических нагрузок. Наличие различных концентратов напряжений приводит к возникновению усталостных трещин.

Кроме того, осевые вентиляторы, оснащенные профилированными лопастями, в настоящее время не соответствуют современным требованиям по статическому эксплуатационному к.п.д., например, вентиляторы серии "В".

3. Создание листовых закрученных лопастей, имеющих значительно больший к.п.д., упрощенную конструкцию и технологию изготовления, а также меньший вес, устраняет недостатки, присущие сварно-клепанным лопастям. Основным недостатком листовых лопастей, препятствующим их широкому применению в промышленности, является их ограниченная несущая способность.

4. Расчет лопастей сварно-клепаной конструкции на колебания показал, что при вычислении первых двух собственных частот поперечных колебаний наибольшую точность дает метод остаточного момента. Решение указанной задачи выполнено на ЭВМ "Урал-4".

В теоретической части работы выполнен анализ напряженного состояния и колебаний листовых лопастей. Расчет на прочность, выполненный методом конечных разностей показал, что наибольшие напряжения ( $\sigma_{max} = 1350 \text{ кг}/\text{см}^2$ ) возникают вблизи корневого сечения лопасти.

Расчет свободных колебаний лопастей позволил установить зависимость между собственными частотами и величиной участка заделки лопасти. Одновременно в работе выполнен расчет изменений собственной частоты консольной оболочки вариационным методом.

5. В работе приведены сравнительные результаты экспериментальных исследований динамической прочности лопастей некоторых типов вентиляторов: ВОКД-3; 2,4; 1,8; ВОД-30. Экспериментальные

исследований выполнены на действующих вентиляторах при их испытании на стендах Каменского машиностроительного завода и института Донгипроуглемаш. Исследования показали, что по напряженному состоянию лопасти указанных типов имеют достаточно высокий запас прочности ( $\sigma_{max} = 500 - 700 \text{ кг/см}^2$ ), однако лопасти, например, вентиляторов ВОКД-3 и 2,4 имеют сравнительно низкую вибростойкость по причине весьма малой отстройки от резонанса, что достаточно близко соответствует теоретическим выводам.

6. Теоретические исследования динамической прочности листовых лопастей вентилятора ВОКД-1,8, выполненные тензометрированием натурного образца машины на аэродинамическом стенде, показали, что у корневого сечения возникают весьма высокие напряжения ( $\sigma_{max} = 1200 \text{ кг/см}^2$ ), коэффициент динамичности в зоне устойчивой работы вентилятора составляет  $K_d = 1,1$ ; а при работе в срывном режиме  $K_d = 1,9$ ; при этом лопасти работают в резонансных условиях.

Металлографические исследования темплетов, вырезанных вдлии сварных швов, показали непровары и переког металла. Таким образом, недостаточно отработанная технология сварки в значительной степени снижает прочность конструкции.

Повышение несущей способности лопастей ВОКД-1,8 возможно при конструктивном изменении, позволяющем увеличить отстройку от резонанса (например, изменением толщины листа и его кривизны), а также путем улучшения технологии сварки.

7. Экспериментальные исследования прочности первой партии листовых лопастей вентиляторов серии "В", выполненные на стенде Каменского машиностроительного завода, показали, что наибольшие напряжения возникают у заделки лопасти.

( $\sigma_{max} = 1180 \text{ кг/см}^2$ ). Отстройка от резонанса составляет 193, а наибольший коэффициент динамичности в зона устойчивой работы вентилятора составляет  $K_d = 1,6$ ; в срывной зоне —  $K_d = 1,4$ .

Усталостные испытания позволили найти пути повышения несущей способности лопастей в 1,8 - 2 раза:

- а) изменение толщины листа ( $\delta$  — бывш. вместо  $\delta = 5 \text{ мм}$ );
- б) применение хорошо свариваемой стали (09Г2 вместо ст.3) имеющей механические характеристики выше приведено вдвое;
- в) термическая обработка с целью снятия остаточных напряжений от сварки;
- г) уменьшение радиуса кривизны корневого сечения с целью увеличения изгибной жесткости и частоты собственных колебаний;
- д) применение накладки в зоне соединения листа с хвостовиком с целью увеличения площади поперечного сечения.

8. Опытная партия листовых лопастей, изготовленная Каменским машиностроительным заводом с учетом рекомендаций данной работы, с первого декабря 1970 г. установлена на действующем вентиляторе ЗУЛ-1,8 комбината "Новомосковскуголь" (шахта № 1 "Зубовская").

Донским рудоремонтным заводом (Тульская область) изготавливаются листовые лопасти к вентиляторам ВОКД-1,8 и 1,5 с учетом результатов работы.

По диссертационной работе опубликованы следующие материалы:

1. Конструкция и прочность лопастей осевых вентиляторов главного проветривания. Сб. "Угольное и горнорудное машиностроение", НИИНФОРМГИДШ, 2-68-3, И., 1968

2. Экспериментальные исследования прочности листовых и стеклопластиковых лопаток шахтных осевых вентиляторов главного проветривания. Инф. ЦНИИУГИЛЬ, № 132, 1966.

3. Вибростенд для определения собственных частот и формы колебаний лопаток шахтных осевых вентиляторов."Вопросы горной механики", изд-во "Недра", М., № 23, 1971.

4. Повышение несущей способности листовых лопаток шахтных осевых вентиляторов. Сб. "Угольное и горнорудное машиностроение", НИИИНФОРМАШ, 2-71-17, М., 1971.

5. О характере аэродинамических нагрузок, действующих на рабочие лопатки шахтного осевого вентилятора. Сб. "Горные машины и автоматика", № 3, М., 1971.

6. Анализ причин разрушения листовых лопаток вентилятора ВОКД-1,8, "Вопросы горной механики", № 26, (в печати).

7. Влияние краевых условий на собственные частоты изгибных колебаний листовых лопаток шахтных осевых вентиляторов. "Вопросы горной механики", № 27, (в печати).

8. Экспериментальные исследования динамической прочности листовых лопаток вентилятора ВОКД-1,8. Сб. "Горные машины и автоматика", (в печати).

О результатах диссертационной работы доложено:

1. На Всесоюзной научно-технической конференции по вентиляции и вентиляторостроению, г. Днепропетровск, 1968

2. На техническом совещании при начальнике СКБ Каменского машиностроительного завода, 1969.

3. На техническом совещании отдела шахтных вентиляторов ИГИТК им. М.М. Федорова с участием Тульского политехнического института, ЦАГИ им. Н.Е. Жуковского, Каменского машиностроительного завода, 1969.

БП 05631. Подписано к печати 12.у.1971г.

Формат 60x90 I/16. Объем 1,25 печ.л.

Тираж 120 экз.

Заказ 161.

Институт ДонУГИ. Донецк, Артема, 114